

Sprawozdanie z listy nr 2 Obliczenia Naukowe

Marek Świergoń (261750)

14 listopada 2022, PWR, WIT INA

1 Zadanie 1

1.1 Cele zadania

Powtórzyć zadanie 5. z listy 1., dla zaburzonego wektora x . Dane użyte w liście 1.:

$$x = [2.718281828, -3.141592654, 1.414213562, 0.5772156649, 0.3010299957]$$

$$y = [1486.2497, 878366.9879, -22.37492, 4773714.647, 0.000185049].$$

Dane z zaburzonym wektorem x :

$$\tilde{x} = [2.718281828, -3.141592654, 1.414213562, 0.577215664, 0.301029995],$$

y jak wyżej.

Celem zadania 5. z listy 1. było obliczenie iloczynu skalarnego dwóch wektorów x i y w typach Float32 i Float64 z wykorzystaniem czterech algorytmów różniących się kolejnością sumowania:

1. "w przód", tj. $\sum_{i=1}^n x_i y_i$
2. "w tył", tj. $\sum_{i=n}^1 x_i y_i$
3. dodając osobno dodatnie iloczyny składowe w porządku od największego do najmniejszego i ujemne iloczyny składowe w porządku od najmniejszego do największego, następnie dodając obliczone sumy częściowe
4. przeciwnie do metody 3.

1.2 Rozwiązanie zadania

Metody wyznaczające iteracyjnie powyższe liczby znajdują się w pliku *zadanie1.jl*, są one identyczne do tych z pliku *zadanie5.jl* z poprzedniej listy.

| Nr alg. | Float32 dla $x \cdot y$ | Float32 dla $\tilde{x} \cdot y$ | Float64 dla $x \cdot y$ | Float64 dla $\tilde{x} \cdot y$ |
|---------|-------------------------|---------------------------------|----------------------------------|---------------------------------|
| 1 | -0.4999443 | -0.4999443 | $1.0251881368296672 * 10^{-10}$ | -0.004296342739891585 |
| 2 | -0.4543457 | -0.4543457 | $-1.5643308870494366 * 10^{-10}$ | -0.004296342998713953 |
| 3 | -0.5 | -0.5 | 0.0 | -0.004296342842280865 |
| 4 | -0.5 | -0.5 | 0.0 | -0.004296342842280865 |

Tabela 1: Porównanie wyniku obliczania iloczynu skalarnego dwóch wektorów z użyciem różnych algorytmów dla danych prawidłowych oraz dla zaburzonego wektora x (\tilde{x}). Prawidłowy wynik dla $x \cdot y$ to $-1.00657107000000 * 10^{-11}$.

1.3 Interpretacja wyników i wnioski

Zauważmy, że dla arytmetyki Float32 wyniki nie różnią się. Wynika to ze zbyt małej precyzji tej arytmetyki, zadanie obliczenia iloczynu skalarnego powyższych wektorów jest obarczone dużym błędem, wynikającym z wykonywania działań na liczbach o istotnie różnych rzędach wielkości.

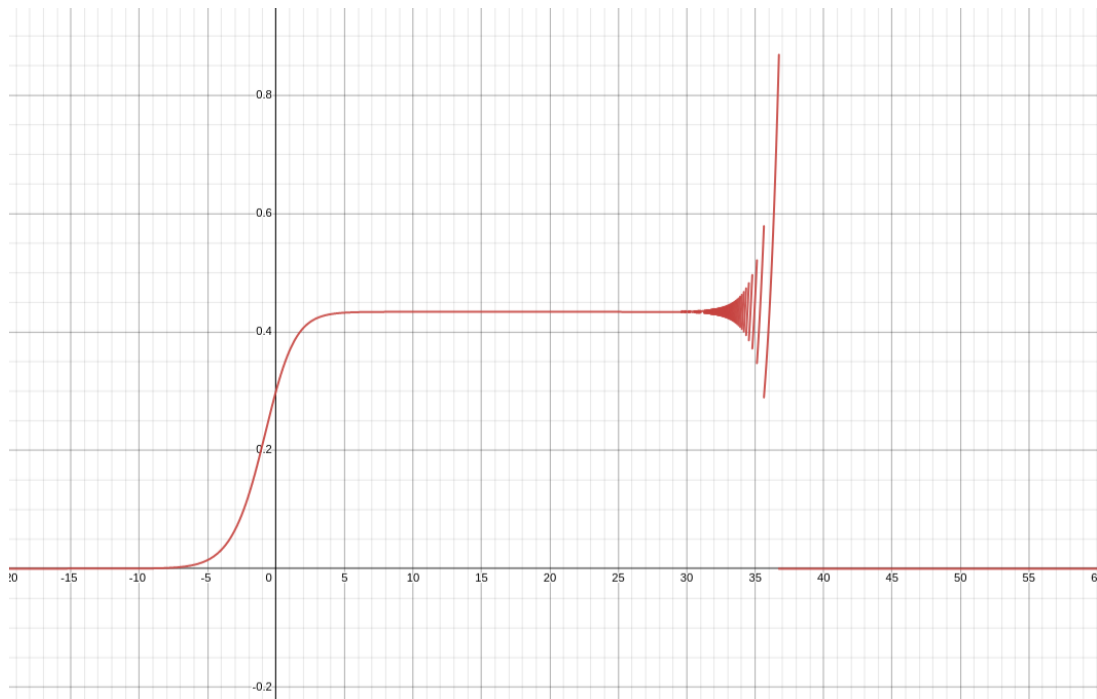
Arytmetyka Float64 charakteryzuje się większą precyzją, w której już możemy zobaczyć duże rozbieżności wyników działań $x \cdot y$ i $\tilde{x} \cdot y$, pomimo tego, że zaburzenie wektora x jest bardzo niewielkie. Możemy zatem wywnioskować, iż algorytmy wyliczania iloczynu skalarnego, zastosowane dla zadanych powyżej wektorów x i y , są wrażliwe na nawet niewielkie zmiany danych. W związku z tym zadanie policzenia iloczynu skalarnego $x \cdot y$ jest źle uwarunkowane.

2 Zadanie 2

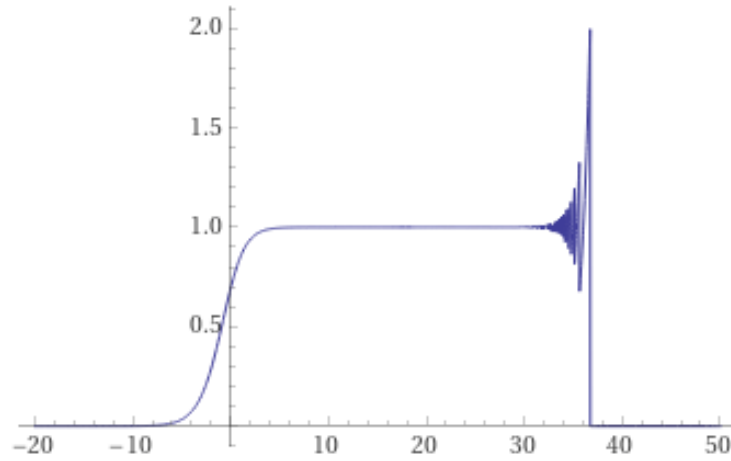
2.1 Cel zadania

Narysować wykres funkcji $f(x) = e^x \ln(1 + e^{-x})$ w co najmniej dwóch dowolnych programach do wizualizacji, policzyć granicę funkcji $\lim_{x \rightarrow \infty} f(x)$ i porównać z wykresami funkcji.

2.2 Rozwiązanie i wyniki



Rysunek 1: Wykres funkcji $f(x)$ narysowany z użyciem kalkulatora graficznego Desmos.



Rysunek 2: Wykres funkcji $f(x)$ narysowany z użyciem programu Wolfram Alpha.

Obliczenie granicy funkcji:

$$\begin{aligned} \lim_{x \rightarrow \infty} f(x) &= \lim_{x \rightarrow \infty} e^x \ln(1 + e^{-x}) = \lim_{x \rightarrow \infty} \frac{\ln(1 + e^{-x})}{e^{-x}} \stackrel{Hospital}{=} \lim_{x \rightarrow \infty} \frac{-1}{e^x + 1} * \frac{1}{-e^{-x}} = \\ &= \lim_{x \rightarrow \infty} \frac{e^x}{e^x + 1} = \lim_{x \rightarrow \infty} \frac{e^x + 1 - 1}{e^x + 1} = \lim_{x \rightarrow \infty} \left(1 - \frac{1}{e^x + 1}\right) = 1 \end{aligned}$$

2.3 Interpretacja wyników i wnioski

Zauważmy, że wyniki przedstawione przez programy graficzne nie pokrywają się z wyliczoną granicą funkcji $f(x)$: na wykresach wartość funkcji zdaje się być równa zero dla odpowiednio dużego x , a w rzeczywistości wartość ta powinna zbiegać do 1 przy $x \rightarrow \infty$. Już dla $x > 30$ funkcja zaczyna na wykresach zachowywać się nieprawidłowo. Oscylacje wynikają z faktu, że w zastosowanym wprost wzorze $f(x) = e^x \ln(1 + e^{-x})$ czynnik e^x staje się bardzo duży, a czynnik $\ln(1 + e^{-x})$ bardzo mały. Działanie mnożenia liczb różniących się wielkością rzędów jest obciążone dużym błędem (stąd oscylacje). Ponadto w pewnym momencie w ramach arytmetyki stosowanej w użytych kalkulatorach graficznych $\ln(1 + e^{-x}) \approx 0$, przez co wynik iloczynu zostaje wyzerowany i nie odwzorowuje poprawnie oczekiwanego wyniku.

3 Zadanie 3

3.1 Cele zadania

Rozwiązać dwoma metodami układ równań liniowych postaci $\mathbf{Ax} = \mathbf{b}$ dla danej macierzy współczynników $\mathbf{A} \in \mathbb{R}^{n \times n}$ i wektora prawych stron $\mathbf{b} \in \mathbb{R}^n$. Metody te to:

- metoda eliminacji Gausa, czyli $x = A \backslash b$,
- metoda korzystająca wprost ze wzoru $\mathbf{x} = \mathbf{A}^{-1}\mathbf{b}$ (w języku Julia `x = inv(A)*b`).

Macierz \mathbf{A} ma być wygenerowana na dwa sposoby:

- $\mathbf{A} = \mathbf{H}^n$, gdzie \mathbf{H}^n jest macierzą Hilberta stopnia n wygenerowaną w Julii za pomocą funkcji `hilb(n)` zdefiniowanej i zaimplementowanej w pliku załączonym do zadania (`hilb.jl`).
- $\mathbf{A} = \mathbf{R}^n$, gdzie \mathbf{R}^n jest losową macierzą stopnia n z zadanyim wskaźnikiem uwarunkowania c wygenerowaną w Julii za pomocą funkcji `matcond(n,c)` zdefiniowanej i zaimplementowanej w pliku załączonym do zadania (`matcond.jl`).

Opisane powyżej zadanie należało wykonać dla macierzy Hilberta z rosnącym stopniem $n > 1$ oraz dla macierzy losowej, dla której $n \in \{5, 10, 20\}$ oraz $c \in \{1, 10, 10^3, 10^7, 10^{12}, 10^{16}\}$. Wyniki ($\tilde{\mathbf{x}}$) porównać z rozwiązaniem dokładnym $\mathbf{x} = (1, \dots, 1)^T$ poprzez wyliczenie błędu względnego $\frac{\|\mathbf{x} - \tilde{\mathbf{x}}\|}{\|\mathbf{x}\|}$.

3.2 Rozwiązanie

Metody służące do wyznaczenia błędu względnego (przy zastosowaniu wyżej wymienionych metod do rozwiązywania układu równań liniowych) znajdują się w pliku *zadanie3.jl*. Zostały do niego dodane również funkcje *hilb(n)* (z pliku *hilb.jl*) oraz *matcond(n,c)* (z pliku *matcond.jl*). Poza wyznaczeniem błędu metody wyświetlają rozmiar, wskaźnik uwarunkowania i rząd danej macierzy.

Wszystkie obliczenia wykonano w arytmetyce Float64 aby zminimalizować błąd wynikający z samej precyzji arytmetyki.

3.3 Wyniki

| n | $\text{cond}(\mathbf{H}^n)^*$ | $\text{rank}(\mathbf{H}^n)$ | $\frac{\ \mathbf{x} - \mathbf{x}_{\text{gauss}}\ }{\ \mathbf{x}\ }$ | $\frac{\ \mathbf{x} - \mathbf{x}_{\text{inv}}\ }{\ \mathbf{x}\ }$ |
|-----|-------------------------------|-----------------------------|---|---|
| 1 | 1.0 | 1 | 0.0 | 0.0 |
| 2 | $1.928147 * 10^1$ | 2 | $5.661049 * 10^{-16}$ | $1.404333 * 10^{-15}$ |
| 3 | $5.240568 * 10^2$ | 3 | $8.022594 * 10^{-15}$ | 0.0 |
| 4 | $1.551374 * 10^4$ | 4 | $4.137410 * 10^{-14}$ | 0.0 |
| 5 | $4.766073 * 10^5$ | 5 | $1.682843 * 10^{-12}$ | $3.354436 * 10^{-12}$ |
| 6 | $1.495106 * 10^7$ | 6 | $2.618913 * 10^{-10}$ | $2.016376 * 10^{-10}$ |
| 7 | $4.753674 * 10^8$ | 7 | $1.260687 * 10^{-8}$ | $4.713280 * 10^{-9}$ |
| 8 | $1.525758 * 10^{10}$ | 8 | $6.124090 * 10^{-8}$ | $3.077484 * 10^{-7}$ |
| 9 | $4.931538 * 10^{11}$ | 9 | $3.875163 * 10^{-6}$ | $4.541268 * 10^{-6}$ |
| 10 | $1.602442 * 10^{13}$ | 10 | $8.670390 * 10^{-5}$ | $2.501493 * 10^{-4}$ |
| 11 | $5.222701 * 10^{14}$ | 10 | $1.582781 * 10^{-4}$ | $7.618304 * 10^{-3}$ |
| 12 | $1.751595 * 10^{16}$ | 11 | $1.339621 * 10^{-1}$ | $2.589941 * 10^{-1}$ |
| 13 | $3.188395 * 10^{18}$ | 11 | $1.103970 * 10^{-1}$ | 5.331276 |

Tabela 2: Wartości wskaźnika uwarunkowania i rzędu macierzy Hilberta rozmiaru n oraz błędy względne rozwiązań $\mathbf{H}_n \tilde{\mathbf{x}} = \mathbf{b}$ dla metody Gaussa i metody korzystającej z odwrotności macierzy. Wyniki są podane dla $n < 14$, ponieważ precyzja Float64 jest niewystarczająca do poprawnych wyliczeń dla większych macierzy Hilberta.

| c | n | $\text{rank}(\mathbf{H}^n)$ | $\frac{\ \mathbf{x} - \mathbf{x}_{\text{gauss}}\ }{\ \mathbf{x}\ }$ | $\frac{\ \mathbf{x} - \mathbf{x}_{\text{inv}}\ }{\ \mathbf{x}\ }$ |
|-----------|-----|-----------------------------|---|---|
| 1 | 5 | 5 | $2.937374 * 10^{-16}$ | $2.627267 * 10^{-16}$ |
| | 10 | 10 | $3.140185 * 10^{-16}$ | $2.077037 * 10^{-16}$ |
| | 20 | 20 | $4.475452 * 10^{-16}$ | $3.901609 * 10^{-16}$ |
| 10 | 5 | 5 | $6.734946 * 10^{-16}$ | $8.656892 * 10^{-16}$ |
| | 10 | 10 | $2.135557 * 10^{-16}$ | $2.895107 * 10^{-16}$ |
| | 20 | 20 | $8.458850 * 10^{-16}$ | $8.455207 * 10^{-16}$ |
| 10^3 | 5 | 5 | $8.945945 * 10^{-15}$ | $1.002501 * 10^{-14}$ |
| | 10 | 10 | $2.128376 * 10^{-14}$ | $2.289365 * 10^{-14}$ |
| | 20 | 20 | $1.595696 * 10^{-14}$ | $1.504768 * 10^{-14}$ |
| 10^7 | 5 | 5 | $1.200502 * 10^{-10}$ | $1.723035 * 10^{-10}$ |
| | 10 | 10 | $8.395776 * 10^{-11}$ | $9.351799 * 10^{-11}$ |
| | 20 | 20 | $3.112270 * 10^{-11}$ | $3.494165 * 10^{-11}$ |
| 10^{12} | 5 | 5 | $4.302324 * 10^{-5}$ | $3.768643 * 10^{-5}$ |
| | 10 | 10 | $4.061037 * 10^{-5}$ | $4.498302 * 10^{-5}$ |
| | 20 | 20 | $1.212850 * 10^{-5}$ | $1.919262 * 10^{-5}$ |
| 10^{16} | 5 | 4 | 0.4387790 | 0.3773365 |
| | 10 | 9 | 0.07567409 | 0.05719689 |
| | 20 | 19 | 0.2478111 | 0.3564761 |

Tabela 3: Wartości wskaźnika rzędu macierzy losowej o rozmiarze n i wskaźniku uwarunkowania c oraz błędy względne rozwiązań $\mathbf{R}_n \tilde{\mathbf{x}} = \mathbf{b}$ dla metody Gaussa i metody korzystającej z odwrotności macierzy.

3.4 Interpretacja wyników i wnioski

- W przypadku macierzy Hilberta, zarówno wskaźnik uwarunkowania, jak i błędy względne dla poszczególnych metod, bardzo szybko rosną wraz ze wzrostem rozmiaru macierzy. Wywnioskować można, że zadanie obliczenia układu równań $\mathbf{H}_n \mathbf{x} = \mathbf{b}$ jest źle uwarunkowane, nawet dla macierzy Hilberta niewielkich rozmiarów.
- Dla macierzy losowych zauważyć możemy, że wielkość błędu względnego rozwiązania zadania podanymi wcześniej metodami zależy głównie od wartości wskaźnika uwarunkowania; nie zależy istotnie od jej rozmiaru.
- Gdy dowolna macierz \mathbf{A} ma wysoki wskaźnik uwarunkowania, to zadanie rozwiązywania układu równań liniowych $\mathbf{A}\mathbf{x} = \mathbf{b}$ staje się źle uwarunkowane, a otrzymane wyniki obciążone są bardzo dużym błędem, rzędowo znacznie większym od precyzji arytmetyki, w której wykonywane były obliczenia.

4 Zadanie 4

4.1 Cel zadania

Dany jest wielomian Wilkinsona w dwóch postaciach: naturalnej, tj.

$$P(x) = x^{20} - 210x^{19} + 20615x^{18} - 1256850x^{17} + 53327946x^{16} - 1672280820x^{15} + 40171771630x^{14} - 756111184500x^{13} + 11310276995381x^{12} - 135585182899530x^{11} + 1307535010540395x^{10} - 10142299865511450x^9 + 63030812099294896x^8 - 311333643161390640x^7 + 1206647803780373360x^6 - 3599979517947607200x^5 + 8037811822645051776x^4 - 12870931245150988800x^3 + 13803759753640704000x^2 - 8752948036761600000x + 2432902008176640000,$$

oraz w postaci iloczynowej, tj.

$$p(x) = (x - 20)(x - 19)(x - 18)(x - 17)(x - 16)(x - 15)(x - 14)(x - 13)(x - 12)(x - 11)(x - 10)(x - 9)(x - 8)(x - 7)(x - 6)(x - 5)(x - 4)(x - 3)(x - 2)(x - 1).$$

Wyznaczyć w Julii pierwiastki tego wielomianu z_k oraz policzyć $|z_k - k|$, $|P(z_k)|$, $|p(z_k)|$, $k \in \{1, \dots, 20\}$. Następnie zaburzyć wielomian poprzez zaburzenie współczynnika $a_{19} = a_{19} - 2^{-23}$ i ponownie wyznaczyć pierwiastki, wyjaśnić zachodzące zjawiska.

4.2 Rozwiązanie

Rozwiązanie tego zadania w całości znajduje się w pliku *zadanie4.jl*.

Wykorzystując metody z pakietu Polynomials zapisano wielomian Wilkinsona w postaci naturalnej i iloczynowej (użycie funkcji `fromroots()`). Następnie wyznaczone zostały pierwiastki tego wielomianu z_k z użyciem funkcji `roots()` zastosowanej na wielomianie w postaci naturalnej. Wyliczono błąd bezwzględny wyznaczonych pierwiastków oraz wartości obu form wielomianów dla tych pierwiastków.

W drugiej części zadania wielomian Wilkinsona został zaburzony, tj. $a_{19} = a_{19} - 2^{-23}$ i porównano pierwiastki wyznaczone po zaburzeniu z prawidłowymi.

4.3 Wyniki

| k | z_k | $ z_k - k $ | $ P(z_k) $ | $ p(z_k) $ |
|-----|--------------------|-------------------|-------------------------------|-------------------------------|
| 1 | 0.99999999999699 | 0.000000000000301 | $3.569650964788257 * 10^4$ | $5.518479490350445 * 10^6$ |
| 2 | 2.000000000028318 | 0.000000000028318 | $1.762526002666841 * 10^5$ | $7.378697629901740 * 10^{19}$ |
| 3 | 2.999999999592097 | 0.000000000407903 | $2.791576968824087 * 10^5$ | $3.320413931687579 * 10^{20}$ |
| 4 | 3.999999983737532 | 0.000000016262468 | $3.027109298899109 * 10^6$ | $8.854437035384718 * 10^{20}$ |
| 5 | 5.000000665769791 | 0.000000665769791 | $2.291747375656708 * 10^7$ | $1.844675205654569 * 10^{21}$ |
| 6 | 5.999989245824773 | 0.000010754175227 | $1.290241728420510 * 10^8$ | $3.320394888870117 * 10^{21}$ |
| 7 | 7.000102002793008 | 0.000102002793008 | $4.805112754602064 * 10^8$ | $5.423593016891273 * 10^{21}$ |
| 8 | 7.999355829607762 | 0.000644170392238 | $1.637952021896114 * 10^9$ | $8.262050140110275 * 10^{21}$ |
| 9 | 9.002915294362053 | 0.002915294362053 | $4.877071372550003 * 10^9$ | $1.196559421646277 * 10^{22}$ |
| 10 | 9.990413042481725 | 0.009586957518275 | $1.363863819545813 * 10^{10}$ | $1.655260133520688 * 10^{22}$ |
| 11 | 11.025022932909318 | 0.025022932909318 | $3.585631295130865 * 10^{10}$ | $2.247833297924790 * 10^{22}$ |
| 12 | 11.953283253846857 | 0.046716746153143 | $7.533332360358197 * 10^{10}$ | $2.886944688412679 * 10^{22}$ |
| 13 | 13.074314032447340 | 0.074314032447340 | $1.960598812433082 * 10^{11}$ | $3.807325552826988 * 10^{22}$ |
| 14 | 13.914755591802127 | 0.085244408197873 | $3.575134782310432 * 10^{11}$ | $4.612719853150334 * 10^{22}$ |
| 15 | 15.075493799699476 | 0.075493799699476 | $8.216271236455970 * 10^{11}$ | $5.901011420218566 * 10^{22}$ |
| 16 | 15.946286716607972 | 0.053713283392028 | $1.551497888049407 * 10^{12}$ | $7.010874106897764 * 10^{22}$ |
| 17 | 17.025427146237412 | 0.025427146237412 | $3.694735918486229 * 10^{12}$ | $8.568905825736165 * 10^{22}$ |
| 18 | 17.990921352716480 | 0.009078647283520 | $7.650109016515867 * 10^{12}$ | $1.014479936104443 * 10^{23}$ |
| 19 | 19.001909818299438 | 0.001909818299438 | $1.143527374972120 * 10^{13}$ | $1.199037620237126 * 10^{23}$ |
| 20 | 19.999809291236637 | 0.000190708763363 | $2.792410639368073 * 10^{13}$ | $1.401911741431813 * 10^{23}$ |

Tabela 4: Wartości pierwiastków wielomianu Wilkinsona rzeczywiste (k) i wyliczone z użyciem funkcji `roots()` z pakietu `Polynomials` (z_k). Błąd bezwzględny wyliczenia pierwiastka i wartości bezwzględne wielomianu Wilkinsona w wyliczonych pierwiastkach (wielomian zadany w postaci naturalnej ($P(z_k)$) i w postaci iloczynowej ($p(z_k)$)).

| k | $ P(k) $ | $ p(k) $ |
|-----|--------------------------|----------|
| 1 | 0.0 | 0.0 |
| 2 | $8.192 * 10^3$ | 0.0 |
| 3 | $2.7648 * 10^4$ | 0.0 |
| 4 | $6.22592 * 10^5$ | 0.0 |
| 5 | $2.176 * 10^6$ | 0.0 |
| 6 | $8.84736 * 10^6$ | 0.0 |
| 7 | $2.4410624 * 10^7$ | 0.0 |
| 8 | $5.89824 * 10^7$ | 0.0 |
| 9 | $1.45753344 * 10^8$ | 0.0 |
| 10 | $2.27328 * 10^8$ | 0.0 |
| 11 | $4.79074816 * 10^8$ | 0.0 |
| 12 | $8.75003904 * 10^8$ | 0.0 |
| 13 | $1.483133184 * 10^9$ | 0.0 |
| 14 | $2.457219072 * 10^9$ | 0.0 |
| 15 | $3.905712 * 10^9$ | 0.0 |
| 16 | $6.029312 * 10^9$ | 0.0 |
| 17 | $9.116641408 * 10^9$ | 0.0 |
| 18 | $1.333988352 * 10^{10}$ | 0.0 |
| 19 | $1.9213101568 * 10^{10}$ | 0.0 |
| 20 | $2.7193344 * 10^{10}$ | 0.0 |

Tabela 5: Dodatkowe sprawdzenie jakie wartości zwróci wielomian Wilkinsona zadany w postaci naturalnej ($P(z_k)$) i w postaci iloczynowej ($p(z_k)$) dla argumentów będącymi dokładnymi pierwiastkami tego wielomianu (k).

| k | \tilde{z}_k | $ \tilde{z}_k - k $ |
|-----|---|---------------------------------|
| 1 | $0.999999999998357 + 0.0im$ | $1.6431300764452317 * 10^{-13}$ |
| 2 | $2.0000000000550373 + 0.0im$ | $5.503730804434781 * 10^{-11}$ |
| 3 | $2.99999999660342 + 0.0im$ | $3.3965799062229962 * 10^{-9}$ |
| 4 | $4.000000089724362 + 0.0im$ | $8.972436216225788 * 10^{-8}$ |
| 5 | $4.99999857388791 + 0.0im$ | $1.4261120897529622 * 10^{-6}$ |
| 6 | $6.000020476673031 + 0.0im$ | $2.0476673030955794 * 10^{-5}$ |
| 7 | $6.99960207042242 + 0.0im$ | 0.00039792957757978087 |
| 8 | $8.007772029099446 + 0.0im$ | 0.007772029099445632 |
| 9 | $8.915816367932559 + 0.0im$ | 0.0841836320674414 |
| 10 | $10.095455630535774 - 0.6449328236240688im$ | 0.6519586830380407 |
| 11 | $10.095455630535774 + 0.6449328236240688im$ | 1.1109180272716561 |
| 12 | $11.793890586174369 - 1.6524771364075785im$ | 1.665281290598479 |
| 13 | $11.793890586174369 + 1.6524771364075785im$ | 2.0458202766784277 |
| 14 | $13.992406684487216 - 2.5188244257108443im$ | 2.518835871190904 |
| 15 | $13.992406684487216 + 2.5188244257108443im$ | 2.7128805312847097 |
| 16 | $16.73074487979267 - 2.812624896721978im$ | 2.9060018735375106 |
| 17 | $16.73074487979267 + 2.812624896721978im$ | 2.825483521349608 |
| 18 | $19.5024423688181 - 1.940331978642903im$ | 2.4540214463129764 |
| 19 | $19.5024423688181 + 1.940331978642903im$ | 2.0043294443099486 |
| 20 | $20.84691021519479 + 0.0im$ | 0.8469102151947894 |

Tabela 6: Wartości pierwiastków wielomianu Wilkinsona rzeczywiste (k) i wyliczone z użyciem funkcji `roots()` z pakietu Polynomials na zaburzonym wielomianie Wilkinsona (\tilde{z}_k). Błąd bezwzględny wyliczenia pierwiastka.

4.4 Interpretacja wyników i wnioski

W Tabeli 4 zauważyć możemy, że wyliczone w Julii wartości pierwiastków nie pokrywają się dokładnie z rzeczywistymi pierwiastkami wielomianu Wilkinsona. Generalnie mniejsze pierwiastki zostały dokładniej wyznaczone niż większe, ale wydawać by się mogło, że błędy nie są bardzo duże ($|z_k - k| < 10^{-1}$). Pomimo tego, wartości wielomianu w niedokładnie wyznaczonych pierwiastkach, są bardzo duże, największe dla większych pierwiastków (nawet $> 10^{13}$). Sugeruje to, że błąd, jaki wystąpił przy błędnie wyznaczonym pierwiastku, kumuluje się bardzo silnie w trakcie kolejnych działań w ramach wykorzystanej arytmetyki.

Ponieważ zmuszeni jesteśmy pracować w arytmetyce o ograniczonej precyzji (Float64), to błąd związany z precyzją arytmetyki oraz działaniami wykonywanymi w tej arytmetyce jest nieunikniony, a **zadanie wyznaczenia pierwiastków wielomianu Wilkinsona jest bardzo źle uwarunkowane**. Potwierdza to również druga część eksperymentu Wilkinsona, gdzie w sposób bardzo marginalny został zaburzony jeden ze współczynników wielomianu. Tak mała zmiana wartości współczynnika spowodowała, że pierwiastki wielomianu otrzymały część urojoną, a ich odległość od faktycznych pierwiastków stała się duża, co pokazuje Tabela 6.

Z pomocą Tabeli 5 możemy dodatkowo zauważyć, że nie jesteśmy w stanie w sposób dokładny przechowywać w arytmetyce Float64 wielomianu Wilkinsona w postaci naturalnej. Wynika to z tego, że przy niskich potęgach x znajdują się bardzo duże współczynniki; są one na tyle duże, że nie możemy ich zapisać bez pominięcia kilku cyfr znaczących. Przez to dla całkowicie poprawnych pierwiastków k (za wyjątkiem $k = 1$) wartość $|P(k)| \gg 0$, natomiast $|p(k)| = 0$

5 Zadanie 5

5.1 Cel zadania

Dane jest równanie rekurencyjne pewnego modelu logistycznego: $p_{n+1} := p_n + r * p_n * (1 - p_n)$, dla $n = 0, 1, \dots$. Wyliczyć 40 iteracji tego równania dla $p_0 = 0.01$ i $r = 3$, stosując różne metody i arytmetyki, tj. wykonać:

1. wszystkie 40 iteracji w arytmetyce Float32 bez modyfikacji danych,
2. najpierw 10 iteracji w arytmetyce Float32, następnie wynik uciąć do 3 liczb znaczących po przecinku i ten wynik zastosować do kolejnych 30 iteracji w arytmetyce Float32,
3. wszystkie 40 iteracji w arytmetyce Float64 bez modyfikacji danych.

5.2 Rozwiązanie

Kod źródłowy zawierający wykonanie wszystkich metod zgodnie z celem zadania znajduje się w pliku *zadanie5.jl*. Do realizacji zadania w tym pliku zaimplementowano funkcje `nextFloat32(p,r)` i `nextFloat64(p,r)`, wyliczające p_{n+1} w arytmetykach odpowiednio Float32 i Float64.

5.3 Wyniki

| Numer iteracji n | p_n dla Float32 | p_n dla Float32 z obcięciem po 10 iteracji | p_n dla Float64 |
|--------------------|-------------------|--|-----------------------|
| 0 | 0.01 | 0.01 | 0.01 |
| 1 | 0.0397 | 0.0397 | 0.0397 |
| 2 | 0.15407173 | 0.15407173 | 0.15407173000000002 |
| 3 | 0.5450726 | 0.5450726 | 0.5450726260444213 |
| 4 | 1.2889781 | 1.2889781 | 1.2889780011888006 |
| 5 | 0.1715188 | 0.1715188 | 0.17151914210917552 |
| 6 | 0.5978191 | 0.5978191 | 0.5978201201070994 |
| 7 | 1.3191134 | 1.3191134 | 1.3191137924137974 |
| 8 | 0.056273222 | 0.056273222 | 0.056271577646256565 |
| 9 | 0.21559286 | 0.21559286 | 0.21558683923263022 |
| 10 | 0.7229306 | 0.7229306 | 0.722914301179573 |
| 10 | 0.7229306 | 0.722 | 0.722914301179573 |
| 11 | 1.3238364 | 1.3241479 | 1.3238419441684408 |
| 12 | 0.037716985 | 0.036488414 | 0.03769529725473175 |
| 13 | 0.14660022 | 0.14195944 | 0.14651838271355924 |
| 14 | 0.521926 | 0.50738037 | 0.521670621435246 |
| 15 | 1.2704837 | 1.2572169 | 1.2702617739350768 |
| 16 | 0.2395482 | 0.28708452 | 0.24035217277824272 |
| 17 | 0.7860428 | 0.9010855 | 0.7881011902353041 |
| 18 | 1.2905813 | 1.1684768 | 1.2890943027903075 |
| 19 | 0.16552472 | 0.577893 | 0.17108484670194324 |
| 20 | 0.5799036 | 1.3096911 | 0.5965293124946907 |
| 21 | 1.3107498 | 0.09289217 | 1.3185755879825978 |
| 22 | 0.088804245 | 0.34568182 | 0.058377608259430724 |
| 23 | 0.3315584 | 1.0242395 | 0.22328659759944824 |
| 24 | 0.9964407 | 0.94975823 | 0.7435756763951792 |
| 25 | 1.0070806 | 1.0929108 | 1.315588346001072 |
| 26 | 0.9856885 | 0.7882812 | 0.07003529560277899 |
| 27 | 1.0280086 | 1.2889631 | 0.26542635452061003 |
| 28 | 0.9416294 | 0.17157483 | 0.8503519690601384 |
| 29 | 1.1065198 | 0.59798557 | 1.2321124623871897 |
| 30 | 0.7529209 | 1.3191822 | 0.37414648963928676 |
| 31 | 1.3110139 | 0.05600393 | 1.0766291714289444 |
| 32 | 0.0877831 | 0.21460639 | 0.8291255674004515 |
| 33 | 0.3280148 | 0.7202578 | 1.2541546500504441 |
| 34 | 0.9892781 | 1.3247173 | 0.29790694147232066 |
| 35 | 1.021099 | 0.034241438 | 0.9253821285571046 |
| 36 | 0.95646656 | 0.13344833 | 1.1325322626697856 |
| 37 | 1.0813814 | 0.48036796 | 0.6822410727153098 |
| 38 | 0.81736827 | 1.2292118 | 1.3326056469620293 |
| 39 | 1.2652004 | 0.3839622 | 0.0029091569028512065 |
| 40 | 0.25860548 | 1.093568 | 0.011611238029748606 |

Tabela 7: Wartości p_n równania rekurencyjnego modelu logistycznego dla różnych zastosowanych precyzji wyliczania tychże wartości.

5.4 Interpretacja wyników i wnioski

W początkowych kilku iteracjach wyniki są zbliżone do siebie, jednak wraz ze wzrostem numeru iteracji stają się w sposób nieprzewidywalny coraz bardziej rozbieżne. Ostatecznie metody dają wyniki zupełnie ze sobą nieskorelowane.

Możnaby myśleć, że wynik 40. iteracji zwrócony przez metodę 2. jest najmniej dokładny, a najbardziej godny zaufania jest wynik wygenerowany z użyciem arytmetyki Float64. Jest to myślenie błędne, gdyż żadna z metod nie jest w stanie dać jakkolwiek sensownego rezultatu. Wynika to między innymi z faktu, że do przechowania w sposób poprawny kwadratu danej liczby zastosowana precyzja musi być w stanie przechować aż do dwóch razy więcej cyfr znaczących niż liczba cyfr znaczących liczby podnoszonej do kwadratu. Gdy w układzie ze **sprzężeniem zwrotnym** nie jesteśmy w stanie zapewnić wystarczającej precyzji, to błędy przez nas popełniane kumulują się wraz z wyliczaniem kolejnych wartości. Proces iteracyjnego wyznaczania wartości modelu logistycznego jest numerycznie **niestabilny**, a wyniki otrzymane przy zastosowaniu rażąco niedostatecznej precyzji mogą być tak niedokładne, jak wyniki otrzymane w sposób losowy.

6 Zadanie 6

6.1 Cel zadania

Dane jest równanie rekurencyjne: $x_{n+1} := x_n^2 + c$ dla $n = 0, 1, \dots$, gdzie c jest pewną stałą. Wykonać 40 iteracji tego wyrażenia dla:

1. $c = -2$ i $x_0 = 1$
2. $c = -2$ i $x_0 = 2$
3. $c = -2$ i $x_0 = 1.9999999999999999$
4. $c = -1$ i $x_0 = 1$
5. $c = -1$ i $x_0 = -1$
6. $c = -1$ i $x_0 = 0.75$
7. $c = -1$ i $x_0 = 0.25$.

Zaobserwować i wyjaśnić zachowanie generowanych ciągów.

6.2 Rozwiązanie

Dla każdego z podpunktów wykonane zostało w pętli 40 iteracji w arytmetyce Float64, kod źródłowy znajduje się w pliku *zadanie6.jl*. Wyniki wywołania programu zostały przedstawione w tabelach oraz dodatkowo zaprezentowane w postaci iteracji graficznej z użyciem bezpłatnego kalkulatora graficznego Desmos.

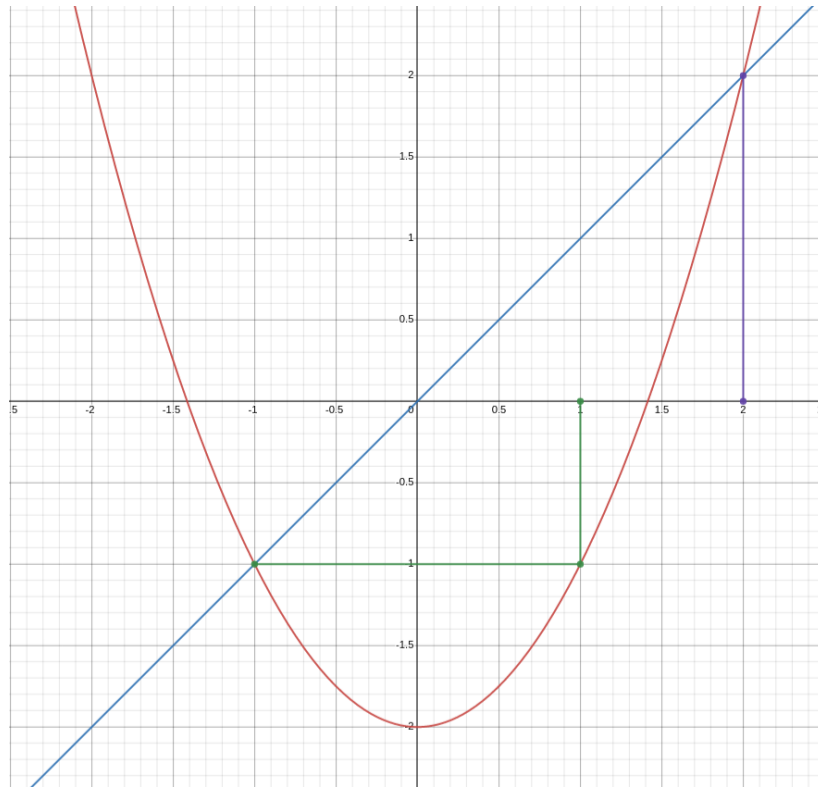
6.3 Wyniki

| n | $x_0 = 1$ | $x_0 = 2$ | $x_0 = 1.9999999999999999$ |
|----|-----------|-----------|----------------------------|
| 1 | -1.0 | 2.0 | 1.9999999999999996 |
| 2 | -1.0 | 2.0 | 1.99999999999998401 |
| 3 | -1.0 | 2.0 | 1.99999999999993605 |
| 4 | -1.0 | 2.0 | 1.9999999999997442 |
| 5 | -1.0 | 2.0 | 1.99999999999897682 |
| 6 | -1.0 | 2.0 | 1.9999999999590727 |
| 7 | -1.0 | 2.0 | 1.999999999836291 |
| 8 | -1.0 | 2.0 | 1.9999999993451638 |
| 9 | -1.0 | 2.0 | 1.9999999973806553 |
| 10 | -1.0 | 2.0 | 1.999999989522621 |
| 11 | -1.0 | 2.0 | 1.9999999580904841 |
| 12 | -1.0 | 2.0 | 1.9999998323619383 |
| 13 | -1.0 | 2.0 | 1.9999993294477814 |
| 14 | -1.0 | 2.0 | 1.9999973177915749 |
| 15 | -1.0 | 2.0 | 1.9999892711734937 |
| 16 | -1.0 | 2.0 | 1.9999570848090826 |
| 17 | -1.0 | 2.0 | 1.999828341078044 |
| 18 | -1.0 | 2.0 | 1.9993133937789613 |
| 19 | -1.0 | 2.0 | 1.9972540465439481 |
| 20 | -1.0 | 2.0 | 1.9890237264361752 |
| 21 | -1.0 | 2.0 | 1.9562153843260486 |
| 22 | -1.0 | 2.0 | 1.82677862987391 |
| 23 | -1.0 | 2.0 | 1.3371201625639997 |
| 24 | -1.0 | 2.0 | -0.21210967086482313 |
| 25 | -1.0 | 2.0 | -1.9550094875256163 |
| 26 | -1.0 | 2.0 | 1.822062096315173 |
| 27 | -1.0 | 2.0 | 1.319910282828443 |
| 28 | -1.0 | 2.0 | -0.2578368452837396 |
| 29 | -1.0 | 2.0 | -1.9335201612141288 |
| 30 | -1.0 | 2.0 | 1.7385002138215109 |
| 31 | -1.0 | 2.0 | 1.0223829934574389 |
| 32 | -1.0 | 2.0 | -0.9547330146890065 |
| 33 | -1.0 | 2.0 | -1.0884848706628412 |
| 34 | -1.0 | 2.0 | -0.8152006863380978 |
| 35 | -1.0 | 2.0 | -1.3354478409938944 |
| 36 | -1.0 | 2.0 | -0.21657906398474625 |
| 37 | -1.0 | 2.0 | -1.953093509043491 |
| 38 | -1.0 | 2.0 | 1.8145742550678174 |
| 39 | -1.0 | 2.0 | 1.2926797271549244 |
| 40 | -1.0 | 2.0 | -0.3289791230026702 |

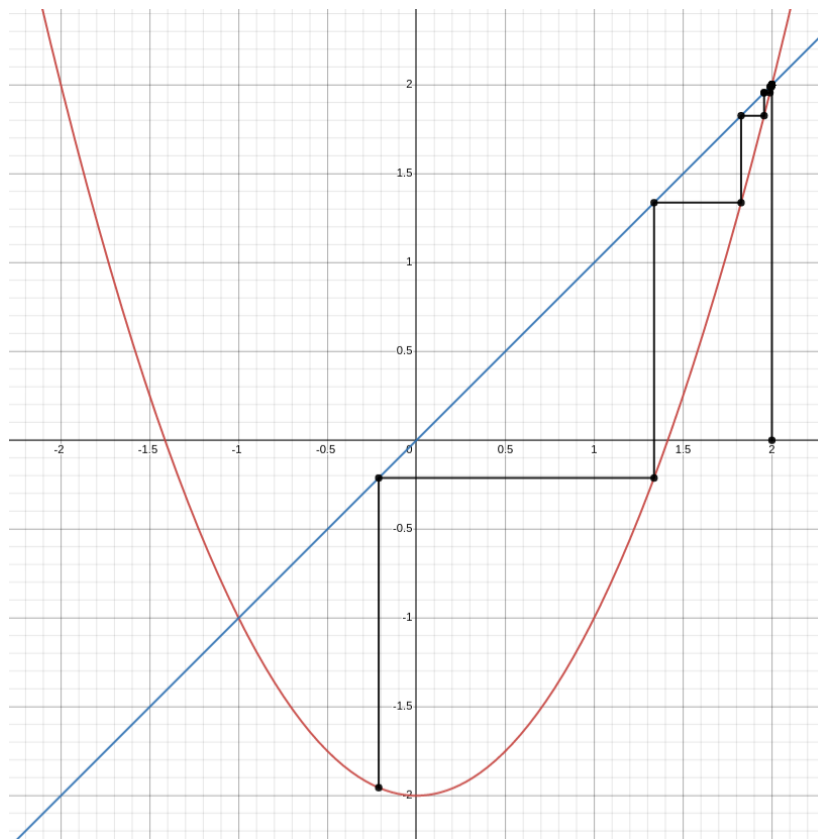
Tabela 8: Wartości x_n pierwszych 40 iteracji równania rekurencyjnego $x_{n+1} := x_n^2 + c$ dla $c = -2$ oraz różnych wartości początkowych x_0 .

| n | $x_0 = 1$ | $x_0 = -1$ | $x_0 = 0.75$ | $x_0 = 0.25$ |
|----|-----------|------------|-------------------------|------------------------|
| 1 | 0.0 | 0.0 | -0.4375 | -0.9375 |
| 2 | -1.0 | -1.0 | -0.80859375 | -0.12109375 |
| 3 | 0.0 | 0.0 | -0.3461761474609375 | -0.9853363037109375 |
| 4 | -1.0 | -1.0 | -0.8801620749291033 | -0.029112368589267135 |
| 5 | 0.0 | 0.0 | -0.2253147218564956 | -0.9991524699951226 |
| 6 | -1.0 | -1.0 | -0.9492332761147301 | -0.0016943417026455965 |
| 7 | 0.0 | 0.0 | -0.0989561875164966 | -0.9999971292061947 |
| 8 | -1.0 | -1.0 | -0.9902076729521999 | -5.741579369278327e-6 |
| 9 | 0.0 | 0.0 | -0.01948876442658909 | -0.9999999999670343 |
| 10 | -1.0 | -1.0 | -0.999620188061125 | -6.593148249578462e-11 |
| 11 | 0.0 | 0.0 | -0.0007594796206411569 | -1.0 |
| 12 | -1.0 | -1.0 | -0.9999994231907058 | 0.0 |
| 13 | 0.0 | 0.0 | -1.1536182557003727e-6 | -1.0 |
| 14 | -1.0 | -1.0 | -0.9999999999986692 | 0.0 |
| 15 | 0.0 | 0.0 | -2.6616486792363503e-12 | -1.0 |
| 16 | -1.0 | -1.0 | -1.0 | 0.0 |
| 17 | 0.0 | 0.0 | 0.0 | -1.0 |
| 18 | -1.0 | -1.0 | -1.0 | 0.0 |
| 19 | 0.0 | 0.0 | 0.0 | -1.0 |
| 20 | -1.0 | -1.0 | -1.0 | 0.0 |
| 21 | 0.0 | 0.0 | 0.0 | -1.0 |
| 22 | -1.0 | -1.0 | -1.0 | 0.0 |
| 23 | 0.0 | 0.0 | 0.0 | -1.0 |
| 24 | -1.0 | -1.0 | -1.0 | 0.0 |
| 25 | 0.0 | 0.0 | 0.0 | -1.0 |
| 26 | -1.0 | -1.0 | -1.0 | 0.0 |
| 27 | 0.0 | 0.0 | 0.0 | -1.0 |
| 28 | -1.0 | -1.0 | -1.0 | 0.0 |
| 29 | 0.0 | 0.0 | 0.0 | -1.0 |
| 30 | -1.0 | -1.0 | -1.0 | 0.0 |
| 31 | 0.0 | 0.0 | 0.0 | -1.0 |
| 32 | -1.0 | -1.0 | -1.0 | 0.0 |
| 33 | 0.0 | 0.0 | 0.0 | -1.0 |
| 34 | -1.0 | -1.0 | -1.0 | 0.0 |
| 35 | 0.0 | 0.0 | 0.0 | -1.0 |
| 36 | -1.0 | -1.0 | -1.0 | 0.0 |
| 37 | 0.0 | 0.0 | 0.0 | -1.0 |
| 38 | -1.0 | -1.0 | -1.0 | 0.0 |
| 39 | 0.0 | 0.0 | 0.0 | -1.0 |
| 40 | -1.0 | -1.0 | -1.0 | 0.0 |

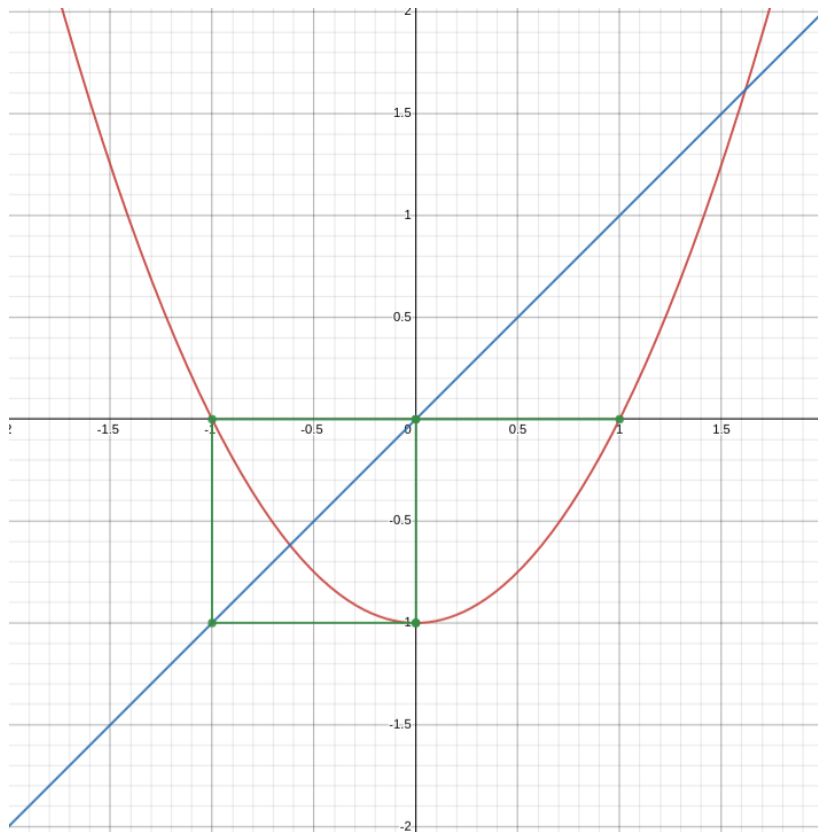
Tabela 9: Wartości x_n pierwszych 40 iteracji równania rekurencyjnego $x_{n+1} := x_n^2 + c$ dla $c = -1$ oraz różnych wartości początkowych x_0 .



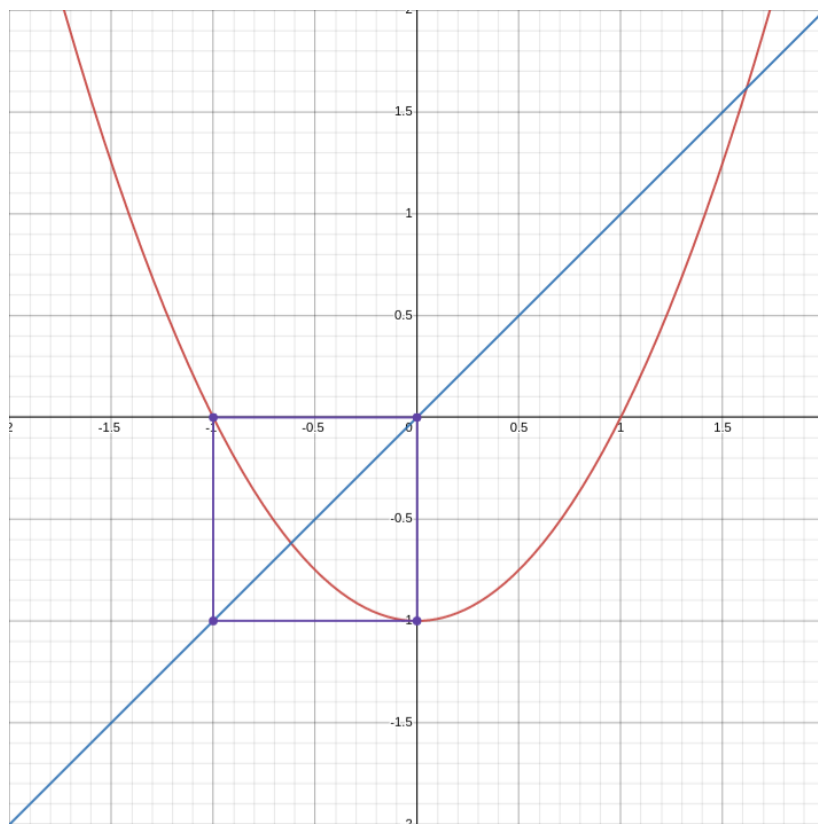
Rysunek 3: Przedstawienie graficzne iteracyjnego wyznaczania x_n z równania rekurencyjnego $x_{n+1} := x_n^2 - 2$ dla $x_0 = 1$ (zielona łamana) i $x_0 = 2$ (fioletowa łamana).



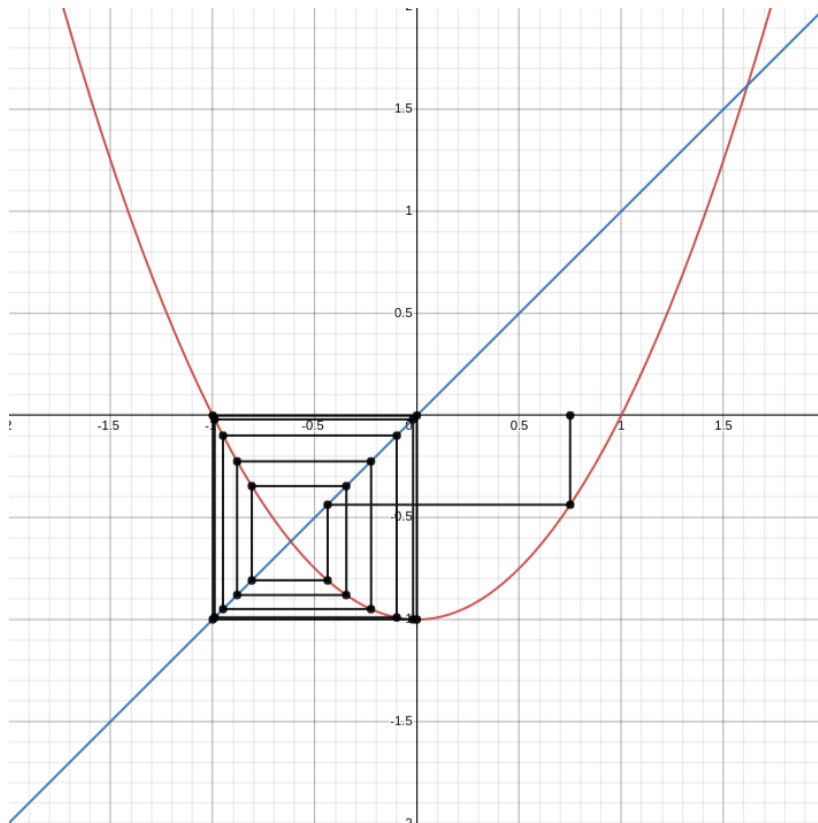
Rysunek 4: Przedstawienie graficzne iteracyjnego wyznaczania x_n z równania rekurencyjnego $x_{n+1} := x_n^2 - 2$ dla $x_0 = 1.9999999999999999$ (czarna łamana, 25 pierwszych iteracji).



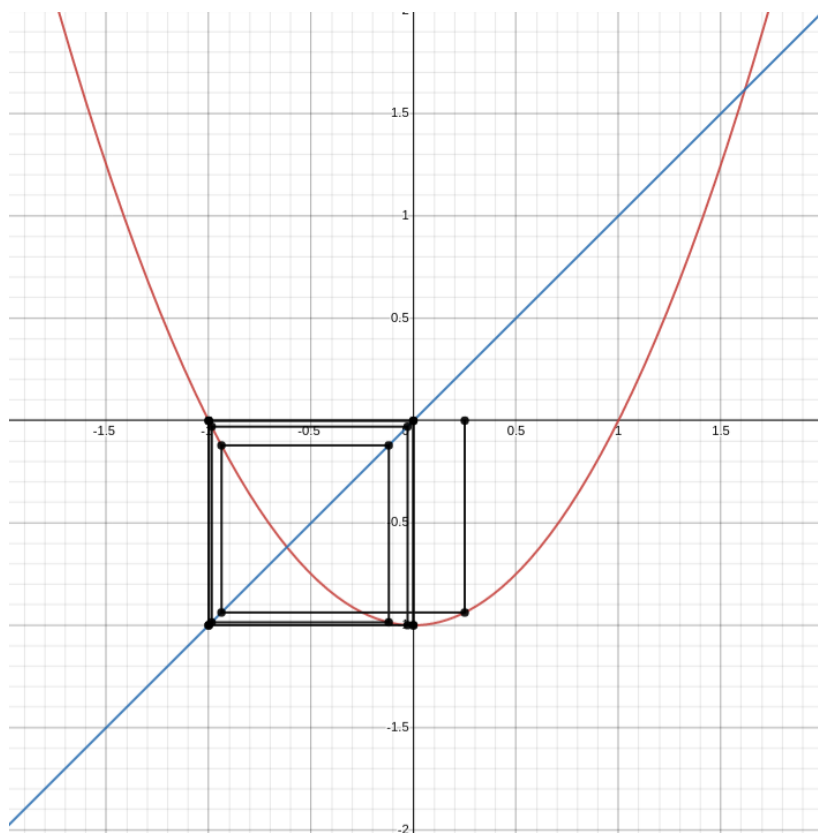
Rysunek 5: Przedstawienie graficzne iteracyjnego wyznaczania x_n z równania rekurencyjnego $x_{n+1} := x_n^2 - 1$ dla $x_0 = 1$ (zielona łamana).



Rysunek 6: Przedstawienie graficzne iteracyjnego wyznaczania x_n z równania rekurencyjnego $x_{n+1} := x_n^2 - 1$ dla $x_0 = -1$ (fioletowa łamana).



Rysunek 7: Przedstawienie graficzne iteracyjnego wyznaczania x_n z równania rekurencyjnego $x_{n+1} := x_n^2 - 1$ dla $x_0 = 0.75$ (czarna łamana, 15 pierwszych iteracji).



Rysunek 8: Przedstawienie graficzne iteracyjnego wyznaczania x_n z równania rekurencyjnego $x_{n+1} := x_n^2 - 1$ dla $x_0 = 0.25$ (czarna łamana, 10 pierwszych iteracji).

6.4 Interpretacja wyników i wnioski

Na Rysunku 3. widzimy, jak dla równania rekurencyjnego $x_{n+1} := x_n^2 - 2$, gdzie $x_0 = 1$ i $x_0 = 2$, łamane iteracji graficznej kończą się dokładnie w punkcie stałym praktycznie na samym początku pracy programu. Punktu stałego nie można opuścić, zatem w Tabeli 8. widzimy, że kolejne iteracje nie mają wpływu na zmianę wartości x_i . Zatem iteracje graficzne dla tych wartości prowadzą do **zachowania stabilnego**.

Dla niewiele różniącego się od powyższego $x_0 = 1.9999999999999999$ iteracja graficzna nie stabilizuje się dla zadanej w poleceniu liczby 40 iteracji (patrz Tabela 8. i pierwsze 25 iteracji na Rysunku 4.), zdaje się coraz bardziej odbiegać od punktu stałego $\alpha = 2$.

Następnie rozważamy równanie rekurencyjne $x_{n+1} := x_n^2 - 1$. Tutaj można zauważyć w Tabeli 9., że dla każdej z zastosowanych w doświadczeniu wartości x_0 , iteracja graficzna ostatecznie stabilizuje się, wchodząc w cykl $(0, -1, 0, -1, \dots)$. W przypadku wartości początkowych $x_0 = -1$ i $x_0 = 1$ cykl następuje natychmiastowo, wraz z pierwszą iteracją (Rysunki 5. i 6.). Dla $x_0 = 0.75$ i $x_0 = 0.25$ proces potrzebuje większej liczby iteracji do wejścia w cykl: w przypadku $x_0 = 0.75$ potrzeba 16 iteracji, a gdy $x_0 = 0.25$ potrzeba ich 11.

Równanie $x_{n+1} := x_n^2 + c$ wyliczane w sposób iteracyjny jest de facto **układem sprzężenia zwrotnego**. Analiza procesu opisanego takim układem jest trudna, ponieważ stany stabilne i niestabilne przeplatają się ze sobą w niełatwy do przewidzenia sposób. Zachowanie układu może się znacząco różnić w zależności jedynie od ustawienia parametrów początkowych, co możemy nazwać **czułą zależnością od warunków początkowych**. Jest to jedna z podstawowych własności składających się na pojęcie **chaosu deterministycznego**¹.

¹Heinz-Otto Peitgen, Dietmar Saupe, *Granice chaosu. Fraktale. Część 1*